



On se propose de déterminer la quantité de matière de dioxyde de soufre produite lors de la combustion des deux fiouls par une méthode pouvant être mise en œuvre dans un laboratoire de lycée, un titrage ayant pour support une réaction d'oxydo-réduction.

Données

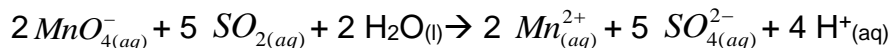
- Couples oxydant-réducteur mis en jeu : $MnO_{4(aq)}^- / Mn_{(aq)}^{2+}$; $SO_{4(aq)}^{2-} / SO_{2(aq)}$
- Dans le titrage, parmi les espèces présentes, seuls les ions permanganate $MnO_{4(aq)}^-$ confèrent à la solution aqueuse une couleur violette.

Soit S_1 une solution aqueuse contenant une quantité de matière de dioxyde de soufre identique à celle utilisée pour la mesure, par la méthode européenne de référence, à la fin de la combustion totale du fioul « nouvelle génération ».

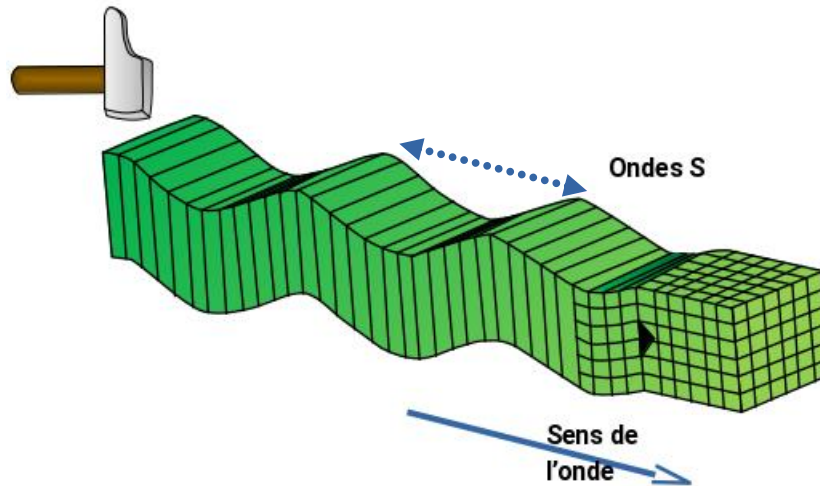
On réalise le titrage d'un volume $V_1 = 20,00 \pm 0,02$ mL de solution S_1 introduite dans un bécher par une solution aqueuse de permanganate de potassium ($K^+_{(aq)} + MnO_{4(aq)}^-$) acidifiée dont la concentration en quantité de matière est $C_2 = (7,50 \pm 0,01) \times 10^{-3} \text{ mol.L}^{-1}$.

Lors du titrage, l'équivalence est obtenue pour un volume versé $V_E = 8,5 \pm 0,4$ mL de la solution aqueuse de permanganate de potassium.

1. Une des impuretés soufrées dans le fioul, évoqué dans l'introduction, est le soufre. Ecrire l'équation de la réaction modélisant la combustion du soufre $S_{(s)}$.
2. Réaliser et légèrer précisément le schéma du montage utilisé pour réaliser le titrage.
3. Établir, à l'aide des données l'équation de la réaction d'oxydo-réduction support du titrage écrite ci-après:

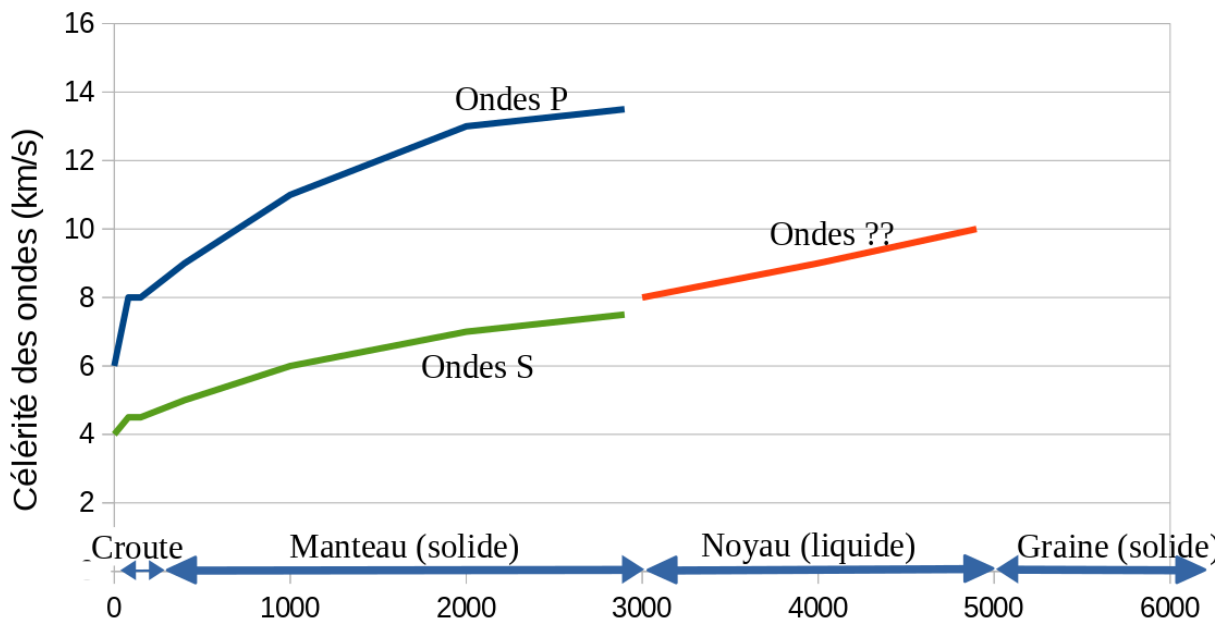


4. Définir l'équivalence d'un titrage.
5. Décrire qualitativement comment évoluent, au cours du titrage, les quantités de matière des espèces chimiques présentes dans le bécher.
6. Indiquer comment s'effectue le repérage de l'équivalence, en précisant votre raisonnement.
7. On note n_1 , la quantité de matière initiale de dioxyde de soufre et n_2 , la quantité de matière des ions permanganate versés pour atteindre l'équivalence. Donner la relation entre les quantités de matière de réactifs introduits à l'équivalence
8. L'incertitude-type sur la quantité de matière de dioxyde de soufre étant évaluée à une valeur de 8×10^{-6} mol lors de ce titrage, donner un encadrement à la valeur de la quantité de matière initiale de dioxyde de soufre dans la solution S_1 .



Représentation des ondes S (d'après C. Allègre « Les fureurs de la Terre »).

1. Les ondes P et S sont qualifiées d'ondes de type mécanique. Justifier cette affirmation.
2. On considère ces ondes comme périodiques. Indiquer quelle est la grandeur représentée par la flèche double en pointillés sur la représentation précédente des ondes S.



Profondeur de la Terre mesurée à partir du sol (km)
 Graphe : célérité des différents types d'onde dans la structure terrestre
 (d'après données planet-terre.ens-lyon.fr)

Modèle CCYC : ©DNE

Nom de famille (naissance) :

(Suivi s'il y a lieu, du nom d'usage)

Prénom(s) :

N° candidat : N° d'inscription :

(Les numéros figurent sur la convocation.)

Né(e) le : / /



RÉPUBLIQUE FRANÇAISE

1.1

3. Indiquer quel est le type d'onde (P ou S) qui traverse le noyau terrestre. Justifier.

Détection des séismes

Lorsqu'un séisme se produit, les ondes sismiques ne sont pas forcément détectées par l'être humain, mais elles peuvent être suivies par les nombreux sismographes situés sur la Terre dans des stations de surveillance sismique.

Un sismographe traditionnel est constitué d'un bâti fixe et d'un pendule qui réagit aux secousses. Le dispositif permet de transcrire les secousses enregistrées sous forme d'une courbe tracée si le mécanisme est mécanique, ou sous forme de données informatiques pour les sismographes numériques modernes.

Ces sismographes permettent d'obtenir des sismogrammes qui peuvent être décomposés comme sur le document en **annexe 1 à rendre avec la copie**.

4. Déterminer si l'allure du sismogramme fourni (**annexe 1**) est cohérente avec les informations du graphe précédent.
5. Représenter sur le document donné en **annexe 1 à rendre avec la copie**, le retard de l'onde S par rapport à l'onde P.

Localisation de l'épicentre

Un séisme se produit généralement à l'intérieur du globe terrestre. L'épicentre du séisme est le lieu de la surface, le plus proche de la source du séisme. C'est le premier endroit de la surface à recevoir les ondes sismiques.

Un séisme dont l'épicentre se situe en Équateur, pays d'Amérique du Sud, s'est produit le 22 février 2019. L'enregistrement du sismographe de la station de surveillance LFCV située au Venezuela, un autre pays d'Amérique du Sud, a permis de mesurer les heures d'arrivée des ondes P et S.

On fera les hypothèses suivantes pour modéliser simplement la situation :

- hypothèse 1 : les ondes P et S se propagent quasiment à la surface de la Terre ;
- hypothèse 2 : le rayon de courbure de la Terre est négligeable ;
- hypothèse 3 : les ondes se déplacent avec des célérités de valeurs constantes.

Données :

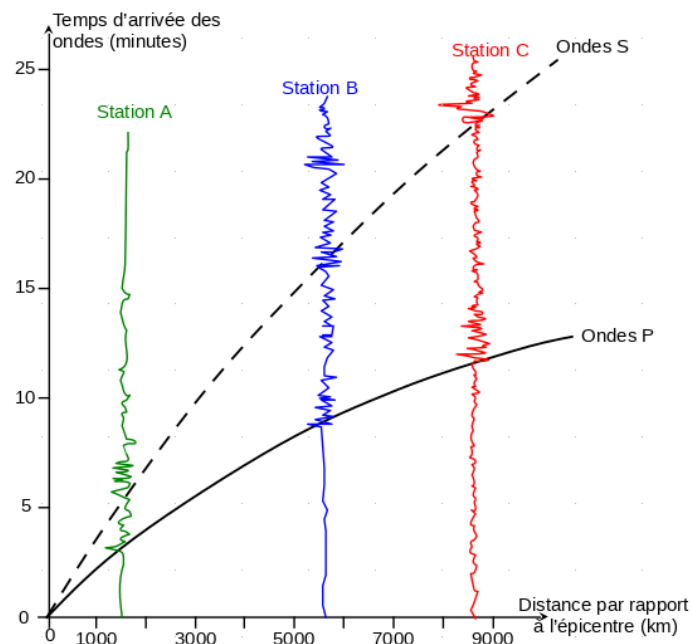
Type d'onde	Heure d'arrivée à la station LFCV	Célérités moyennes des ondes	Distance parcourue depuis l'épicentre
Ondes P	$H_P = 10 \text{ h } 21 \text{ min } 01 \text{ s}$	$c_P = 8,7 \text{ km.s}^{-1}$	d
Ondes S	$H_S = 10 \text{ h } 24 \text{ min } 03 \text{ s}$	$c_S = 4,7 \text{ km.s}^{-1}$	d

6. On note d la distance entre l'épicentre du séisme et la station LFCV. En notant t_S et t_P respectivement les durées de propagation de l'onde S et de l'onde P entre l'épicentre et la station LFCV, exprimer $t_S - t_P$ en fonction de d , c_S et c_P .



7. Exprimer la distance d puis calculer sa valeur.

En réalité, les calculs de localisation d'épicentre prennent en compte le fait que les célérités des ondes P et S ne sont pas constantes. On réalise pour cela une hodochrone (voir ci-dessous) à partir des enregistrements obtenus par plusieurs sismographes situés en divers endroits du globe. Elle représente l'évolution du temps de propagation des ondes sismiques P et S en fonction de la distance à l'épicentre.



8. En exploitant l'hodochrone, déterminer la distance L entre l'épicentre et une station de mesure dans le cas où l'onde S arrive avec 5 min de retard par rapport à l'onde P.

L'utilisation de l'hodochrone donne pour trois stations différentes les résultats suivants :

Station	Durée $t_s - t_p$	Distance L de la station à l'épicentre
LFCV (Venezuela)	183 s	$1,93 \cdot 10^3$ km
HPAP (Haïti)	231 s	$2,39 \cdot 10^3$ km
GCAPE (Guadeloupe)	247 s	$2,78 \cdot 10^3$ km

On considère que, pour chaque station, l'épicentre se trouve sur un cercle de rayon L .

Pour déterminer graphiquement la position de l'épicentre, on a utilisé un programme informatique en langage Python. Ce programme permet de créer un fond de carte,

Modèle CCYC : ©DNE

Nom de famille (naissance) :

(Suivi s'il y a lieu, du nom d'usage)

Prénom(s) :

N° candidat : N° d'inscription :

(Les numéros figurent sur la convocation.)

Né(e) le : / /



RÉPUBLIQUE FRANÇAISE

1.1

de positionner les trois stations LFCV, HPAP et GCAPE, de tracer des cercles dont les centres sont les stations. La carte produite figure dans le document en **annexe 2 à rendre avec la copie**.

9. Indiquer pourquoi le document en **annexe 2 à rendre avec la copie** ne permet pas de positionner précisément l'épicentre du séisme.

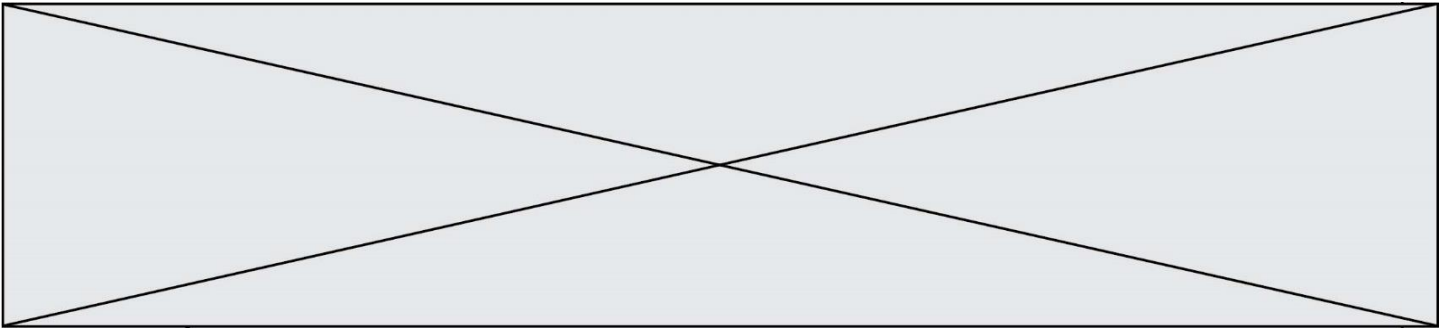
Le programme utilisé est donné ci-dessous :

```

1 # Ce programme en langage Python permet de positionner l'épicentre d'un séisme
2 # à partir de stations de sismographie.
3
4 # Importe la bibliothèque folium qui contient les éléments de carte
5 import folium
6
7 # Crée une carte que l'on nomme CarteEpicentre
8 # Cette carte est centrée sur la latitude et la longitude, indiquées dans
9 # location=[,] et zoom_start donne la valeur du zoom utilisée pour la carte
10 CarteEpicentre = folium.Map(location=[10,-60], zoom_start=5)
11
12 # Crée des tableaux de valeurs avec la latitude, la longitude, le nom,
13 # et la distance à l'épicentre pour chaque station de sismographie
14 lat=[ 10.491 , 18.54 , 16.2706 ]
15 long=[ -66.832 , -72.32 , -61.504 ]
16 nom_station=['LFCV', 'HPAP', 'GCAPE']
17 distance_epicentre = [ 1.93 , 2.39 ]
18
19 # Crée 3 icônes (3 marqueurs) sur la carte, avec nom et position des stations
20 for i in range(3):
21     folium.Marker([lat[i], long[i]], popup=folium.Popup(nom_station[i]),
22                 |icon=folium.Icon(icon="flag" )).add_to(CarteEpicentre)
23
24 # Crée 2 cercles de rayon L autour des stations LFCV et HPAP
25 # Le rayon est calculé à partir de L et d'un facteur d'échelle adapté
26 # au zoom choisi (ici valeur 210)
27 for i in range(2):
28     folium.CircleMarker( [lat[i] , long[i] ],
29                          radius = 210 * distance_epicentre[i]).add_to(CarteEpicentre)
30
31 # Enfin on crée un fichier dans un format lisible par l'utilisateur dont on
32 # indique le nom "CarteFinale" et l'extension "html"
33 CarteEpicentre.save('CarteFinale.html')

```

10. Indiquer l'information chiffrée manquante dans ce programme informatique, pour tracer le cercle autour de la station GCAPE. Préciser le numéro de la ligne à corriger et réécrire cette ligne entièrement sur votre copie.
11. À la ligne 27, proposer une modification du programme permettant de faire apparaître le cercle autour de GCAPE.
12. Placer l'épicentre sur l'**annexe 2 à rendre avec la copie** en expliquant votre démarche.



Modèle CCYC : ©DNE

Nom de famille (naissance) :

(Suivi s'il y a lieu, du nom d'usage)

Prénom(s) :

N° candidat :

N° d'inscription :



Liberté • Égalité • Fraternité
RÉPUBLIQUE FRANÇAISE

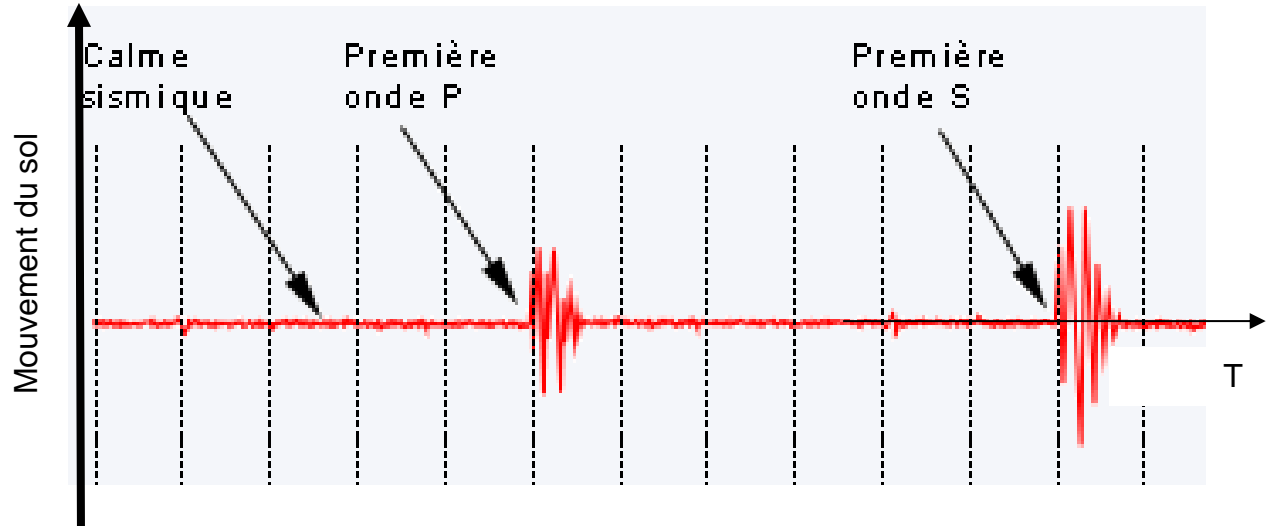
Né(e) le :

(Les numéros figurent sur la convocation.)

1.1

ANNEXES À RENDRE AVEC LA COPIE

Annexe 1: Enregistrement simplifié des mouvements du sol en fonction du temps lors d'un séisme



Annexe 2 : Carte obtenue par le programme en langage python

